

©1993

## ТЕОРИЯ РЕКОНСТРУКТИВНЫХ ФАЗОВЫХ ПЕРЕХОДОВ В СУПЕРИОННЫХ ПРОВОДНИКАХ AgI И CuBr

Ю.М.Гуфан, И.Н.Мощенко, В.И.Снежков

Предложены геометрический и аналитический методы построения феноменологической теории реконструктивных фазовых переходов, описываемых многокомпонентными параметрами порядка. Это позволило обобщить и уточнить результаты [4–8], полученные методом эффективного потенциала и эффективного параметра порядка, в частности при описании реконструкции А2–А3. Новый метод позволил получить глобальный вид фазовой диаграммы для  $\alpha$ – $\beta$ -реконструкции, наблюдаемой в AgI и CuBr, и предсказать структуру масс пониженной симметрии, которая должна проявляться при  $\alpha$ – $\beta$ -реконструкции AgI и CuBr. Вид фазовой диаграммы, в частности, показывает, что безбарьерная потеря устойчивости структуры  $\beta$ -фазы возможна только в одной точке на фазовой диаграмме, а для  $\alpha$ -фазы возможна только при смещении чередующихся плоскостей (110) по симметричным направлениям типа [111], приводящих при больших смещениях к простой гексагональной структуре, а не к  $\beta$ -фазе.

### 1. Постановка задачи

Кристаллы иодата серебра (AgI) при понижении температуры претерпевают реконструктивный фазовый переход, при котором его кристаллическая сингония изменяется от кубической ( $\alpha$ -фаза, симметрия  $O_h^9$ , структура А2 (ОПК)) до гексагональной (структура вюртцита ( $hP4$ ), симметрия  $C_{6v}^4$ ,  $\beta$ -фаза) [1]. Общей феноменологической теории реконструктивных переходов, позволяющей по изменению симметрии отобразить возможные механизмы перехода, как это делается в теории Ландау [2,3], до настоящего времени нет. Поэтому в качестве гипотезы было высказано мнение, что реконструкция структуры иодата серебра обусловлена упорядочением катионов, лишь частично заполняющих правильную систему точек (ПСТ) в  $\alpha$ -фазе, и проявляющимся также в потере иодатом серебра суперионной проводимости. В [1] приведены также экспериментальные данные, интерпретированные как подтверждающие эту гипотезу.

Заметим, что такое же изменение структуры и симметрии наблюдается в CuBr. Однако если AgI в  $\beta$ -фазе становится полупроводником, то в  $\beta$ -фазе CuBr сохраняется до 70% суперионной проводимости  $\alpha$ -фазы. Это наводит на мысль о возможной независимости механизма реконструкции от степени упорядочения катионов. Приводимые ниже вычисления делают этот факт очевидным.

Основная цель нашего исследования — разработка общей теории реконструктивных фазовых переходов и выявление на основе развитой теории тех выводов о механизме  $\alpha$ – $\beta$  перехода в AgI и CuBr, которые строго

следуют из симметрии. Мы используем некоторые идеи, предложенные в [4,5], дополняя их более строгими теоретико-групповыми расчетами. Полученные при этом результаты позволяют уточнить ряд выводов, сделанных в [6], о механизме перехода ОЦК и ГПУ структурами. Другая цель нашей работы — проиллюстрировать и привести основные идеи общей симметричной теории реконструктивных фазовых переходов.

## 2. Механизм реализации реконструкции $A2-hP4$

Структура и симметрия  $\alpha$ -фазы AgI и CuBr определяются жестким каркасом анионов. Катионы равновероятно распределены по тетрапорам (а возможно, и по октапорам [1]) структуры  $A2$ , не изменяя ни симметрию, ни структуру кристалла. Структура  $\beta$ -фазы, если не обращать внимания на катионы, представляет собой гексагональную плотную упаковку анионов (структура  $A3$  (ГПУ), симметрия  $D_{6h}^4$ ).

Если половину тетрапор структуры  $A3$  равномерно заполнить ионами металла с несколько большей вероятностью, чем другую, то получается структура  $\beta$ -фазы AgI. Поэтому реконструкцию структуры AgI можно представить как фазовый переход в анионной подрешетке между структурами  $A2$  и  $A3$ , сопровождающийся упорядочением катионов. Механизм перехода  $A2-A3$  был предложен и обоснован в [6]. Там же показано, что реконструкция  $A2-A3$  происходит за счет собственного параметра порядка (ПП): сдвига каждой второй кристаллографической плоскости (110) ОЦК структуры вдоль направления [110] (рис. 1) и вынужденной этим сдвигом, т.е. симметрично обусловленной (несобственной или сопутствующей [7,8]), деформации кубической решетки. С другой стороны, анализ вида допустимых симметрией взаимодействий между соответствующими ПП показывает, что два механизма искажения  $\alpha$ -фазы — сдвиг анионной подрешетки и упорядочение катионов — симметрично независимы [2].

Однако в [6], несмотря на то что предложенный там механизм перехода  $A2-A3$  описывается многокомпонентным ПП, теория строилась в рамках эффективного однокомпонентного ПП и эффективного потенциала. Это же относится ко всем работам по теории реконструктивных переходов, известным авторам, в том числе и к работам [4-6,9,10]. Существенные недостатки такой подмены условий задачи уже неоднократно обсуждались [2, с. 273-283].

Для построения более последовательной теории реконструкции  $A2-A3$  воспользуемся основной идеей Горовица, Гудинга и Крумхавсла [5] и проведем описание механизма перехода, предложенного в [6], на теоретико-групповом языке волн плотности вероятности. Приводимый ниже метод описания позволяет обобщить теорию других реконструктивных переходов, рассмотренных в работах [4-6,9,10].

## 3. Параметр порядка

Поскольку при реконструктивных переходах известны только начальное и конечное положения атомов, смещенных на расстояние, сравнимое с постоянной решетки, то возникает неоднозначность в определении направления смещения атомов, относительно которого одна из фаз теряет

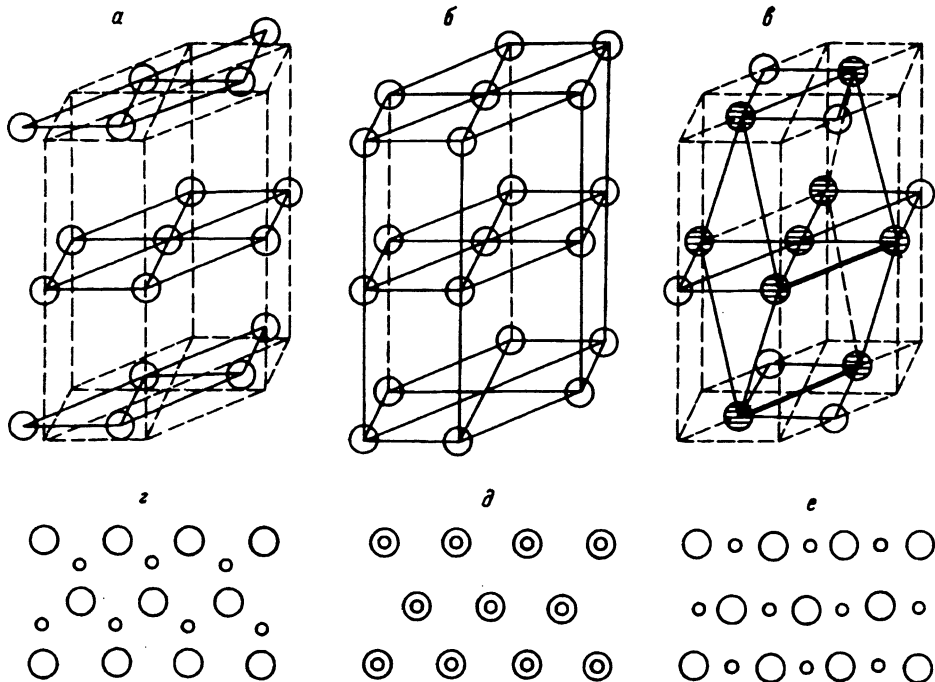


Рис. 1. Механизм реконструкции ОЦК-ГПУ за счет сдвига плоскостей (001) ГПУ структуры.

*a* — структура ГПУ, штрихом обозначены контуры удвоенной вдоль [001] элементарной ячейки прафазы; *b* — структура прафазы (ПГ) или вырожденной структуры; *c* — структура ОЦТ, образующая ОЦК за счет симметрично-обусловленных деформаций (атомы, входящие в элементарную ячейку, заштрихованы); *z, d, e* — те же структуры в проекции на плоскость (001) прафазы; атомы в слоях *N1* и *N2* обозначены кружками разных диаметров.

устойчивость. Так, в разбираемом примере потеря устойчивости  $\alpha$ -фазы AgI относительно смещений чередующихся плоскостей в любом направлении в плоскости (110) может в конечном итоге привести к структуре  $\beta$ -фазы.

Это означает, что неравновесный потенциал  $\Phi$  является функцией произвольных смещений  $\Delta r$  в плоскости (110). Все такие смещения можно разложить по двум независимым направлениям в плоскости

$$\Delta r = \xi = \xi_1 a_1 + \xi_2 a_2.$$

Таким образом,  $\Phi$  является функцией как минимум двух компонент смещений в плоскости (110):  $\xi_1, \xi_2$ .

Если допустить, что прафазой является структура  $\alpha$ -фазы, то при построении неравновесного потенциала  $\Phi$  необходимо также учитывать, что плоскостей типа (110) в структуре  $\alpha$ -фазы шесть: (110), (110), (101), (101), (011), (011). Поэтому для последовательного определения условий устойчивости фаз необходимо варьировать  $\Phi$  по двенадцати переменным  $\xi_1, \xi_2, \dots, \xi_{12}$ . Выбор плоскостей *N1* и *N2* еще удваивает число переменных [2, с. 37-42]. Это вполне соответствует тому, что если рассмотреть

механизм перехода, состоящий в относительном смещении чередующихся плоскостей типа (110) в рамках теории Ландау, то соответствующее представление будет 24-мерным, но приводимым, содержащим, кроме релевантного неприводимого 6-мерного, еще и сопутствующее 6-мерное.

Оба этих представления характеризуются звездой вектора  $K_9$  ( $\Gamma_c^v$ ) [11,12]. Еще четыре 3-мерных сопутствующих представления относятся к звездам векторов  $K_{11}$  ( $\Gamma_c^v$ ) = 0 и  $K_{12}$  ( $\Gamma_c^v$ ) = (1/2)( $b_1 + b_2 - b_3$ ). Обозначим базис этого приводимого представления  $\eta_1, \eta_2, \dots, \eta_{24}$ . Всевозможные понижения симметрии при малых смещениях описываются релевантным 6-мерным представлением, т.е. представлением  $O_h^9$ , построенным на компонентах ПП:  $\eta_1, \eta_2, \dots, \eta_6$ . При малых значениях  $\eta_i$  всего возможны 33 низкосимметричные фазы, которые описаны в [12, с. 148–154].

#### 4. Описание аппарата общей теории реконструктивных переходов

В общей теории переходов с малыми значениями компонент ПП (точнее,  $\eta_i < 1$ ) в рассмотрение вводилось пространство компонент ПП [2,13] и в нем задавалась унитарная группа  $L$  всех различных матриц, определяющих действие элементов пространственной группы высокосимметричной фазы на компоненты ПП [2,13,14]. Группа  $L$  в  $\epsilon_i$  является точечной. Она определяет как симметрию низкосимметричных фаз, так и условия их устойчивости [2,13,14]. Разные низкосимметричные фазы  $G_i \subset G_0$  отвечают разной симметрии подпространств в  $\epsilon_i$ . Точнее, в [13] было доказано, что каждой подгруппе  $H_m \subset L$ , оставляющей инвариантное подпространство в  $\epsilon_i$ , соответствует свое решение уравнений состояния, описывающее фазу, симметрия которой определяется по ядру гомоморфизма

$$K \equiv G_0/L, \quad G_m = k \otimes H_m,$$

где  $G_m$  — пространственная группа симметрии низкосимметричной фазы. Это означает, что каждое качественное новое решение уравнений состояния, задающее беспараметрическое соотношение между равновесными значениями  $\eta_i$  в фазе, соответствует тому, что представительная точка системы в  $\epsilon_i$  находится в подпространстве выделенной симметрии. Однако теория [2,13,14] не учитывает того, что пространство  $\epsilon_i$  имеет край, соответствующий ограничению  $\eta_i$  по величине: по определению,  $|\eta_i| < 1$  [15]. Фазы, которые могут соответствовать предельному значению  $\eta_i = 1$ , назовем предельными. Последнее равенство соответствует немалым смещениям, которые и наблюдаются при реконструкции структуры. Математический аппарат, предложенный в [14], не позволяет решить задачу определения стабильности предельных фаз на основе соображений симметрии.

Для симметричного решения задачи устойчивости фаз, характеризуемых равенством  $\eta_i = 1$ , применительно к разбираемой задаче введем в рассмотрение пространство  $\sigma_2$ -компонент ( $\xi_1, \xi_2$ ) относительного смещения кристаллографических соседних плоскостей (рис. 2). Структура пространства  $\sigma_2$ , если считать, что смещается плоскость  $N2$ , совпадает со структурой плоскости  $N2$ . Проставленные на рис. 2 положения центров атомов неподвижной плоскости позволяют увидеть, какой симметрии и структуре в реальном пространстве соответствует то или иное положение представительной точки в  $\sigma_2$ . Группа симметрии  $Z_2$ , определяемая

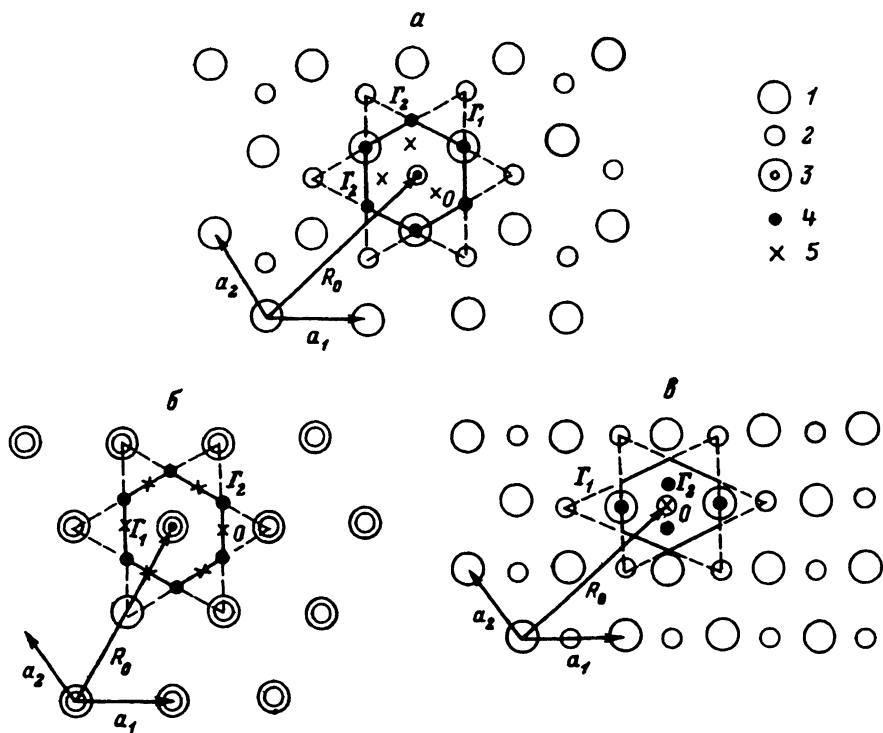


Рис. 2. Структура пространств  $\sigma_2$  при механизме реконструкции, обусловленном относительным сдвигом кристаллографических плоскостей структур.

$a$  — (001) ГПУ,  $b$  — (001) ПГ,  $c$  — (110) ОПК с учетом симметрично-обусловленной деформации. Показаны ячейки Вигнера-Зейтца. Структура  $\sigma_2$  во всех рассмотренных примерах совпадает со структурой плоскости, принятой за подвижную.

1 — атомы неподвижной плоскости, 2 — атомы подвижной плоскости. Правильная система точек: 3 —  $\Gamma_1$ , 4 —  $\Gamma_2$ , 5 — 0.

структурой  $\sigma_2$ , если рассматривается неустойчивость  $\alpha$ -фазы с симметрией  $O_h^9$ , описывается плоской группой  $P2m$ .<sup>1</sup> Как видно, в пространстве  $\sigma_2$  в соответствии с определением возможны сколь угодно большие значения  $\xi_1$  и  $\xi_2$ . За счет этого в  $\sigma_2$  есть эквивалентные положения представительной точки системы, соответствующие одной и той же структуре в реальном пространстве. Группа  $Z_2$  определяет все возможные системы таких эквивалентных точек на  $\sigma_2$ , в том числе и обладающих выделенной симметрией ПСТ. Поскольку  $\partial\Phi/\partial\xi$  — контравариантный вектор, а  $\xi$  — ковариантный вектор в евклидовом пространстве  $\sigma_2$ , то подгруппы  $Z_2$ , запрещающие наличие тех или иных компонент вектора в некоторой представительной точке в  $\sigma_2$ , запрещают такое же количество компонент векторного поля  $\partial\Phi/\partial\xi$  над этой точкой.

Следовательно, как и в случае теории переходов, характеризуемых малыми смещениями, в самом общем случае в каждом подпространстве  $\sigma_2$  выделенной симметрии  $H \subset Z_2$  представительная точка соответствует

<sup>1</sup> Для групп  $Z_i$ , как и для группы  $L_i$ , в случае размерности  $\text{ПП } i > 3$  нет общепринятых названий [2,13,16].

определенному фазовому состоянию кристалла, т.е. определенной симметрии и структуре.

Пространство  $\varepsilon_2$  можно наглядно изобразить как подпространство  $\sigma_2$ . Наличие ограничения  $|\eta_i| < 1$  и наличие в  $\sigma_2$  эквивалентных точек

$$\xi = \xi_0 + n a_1 + m a_2,$$

где  $n, m = 0, \pm 1, \pm 2 \dots$ , в которых, как видно из структуры кристалла в реальном пространстве,  $\eta_i = \eta_i(\xi_0)$ , позволяет утверждать, что  $\varepsilon_i$  может быть изображено в виде ячейки Вигнера-Зейтца (ВЗ) в структуре, образованной эквивалентными точками  $\xi = n a_1 + m a_2$  в пространстве  $\sigma_2$ . Такое изображение позволяет чисто геометрически определить края  $\varepsilon_i$ . Параметр порядка  $\eta_i$  принимает на границе ячейки ВЗ предельное значение только в том случае, если подпространство  $\sigma_i$ , определяющее эту границу, имеет повышенную симметрию. При этом условии граница соответствует определенной предельной фазе кристалла, имеющей свою область устойчивости на фазовой диаграмме. В противном случае значение  $\eta_i$  на границе ячейки ВЗ не соответствует отдельной фазе.

На рис. 2 изображена система эквивалентных точек  $\xi = n a_1 + m a_2$  в  $\sigma_2$ , определяемая группой  $Z_2$ , соответствующей разбираемому механизму перехода для случая неустойчивости ОПК (в) и ГПУ (а) структур относительно смещения чередующихся кристаллографических плоскостей (110) и (001) соответственно.

## 5. Некоторые предварительные результаты

Из рис. 2, в видно, что если исходить из механизма перехода, описанного в [6], и построить теорию перехода исходя из  $\alpha$ -фазы AgI как из прафазы, то в  $Z_2$  есть только два типа нульмерных подпространств. Это системы правильных точек типа  $O$  и  $\Gamma_1$ , которым соответствует повышенная симметрия в  $Z_2$ . В обоих типах точек симметрия  $2mm$  в  $Z_2$ . Точки типа  $O$  определяются целочисленными координатами  $\xi_1$  и  $\xi_2$  в единицах элементарных трансляций  $a_1$  и  $a_2 \in Z_2$ :  $\xi = n a_1 + m a_2$ . Точкам типа  $\Gamma_1$  соответствуют полуполое значение  $\xi_1$ :  $\xi_1 = m' + 1/2$  и целое значение  $\xi_2$ :  $\xi_2 = n'$ . Здесь  $n, m, n', m' = 0, 1, 2, \dots$

Эти точки, согласно доказанному [14], соответствуют решениям уравнений состояния, которые могут описывать фазы кристалла стабильных в некотором интервале внешних условий. Из взаимного расположения плоскостей видно, что точки типа  $O$  соответствуют в реальном пространстве ОПК-структуре, а точки  $\Gamma_1$  — искаженной простой гексагональной структуре ПГ. В этой статье не затрагивается вопрос о вынужденных несобственных деформациях, определенных значениями компонент ПП [6]. Если их учесть, то симметрия, описывающая структуру  $\Gamma_1$ , будет  $D_{6h}^1$ .

Точки типа  $\Gamma_2$ , которые при учете сопутствующих деформаций должны в реальном пространстве соответствовать ГПУ-структуре, не имеют выделенной симметрии в  $Z_2$  (ОПК) и поэтому не соответствуют никакой фазе [2, 14]. Заметим, что при движении представительной точки системы от  $O$  до  $\Gamma_2$   $|\eta|$  не достигает своего предельного значения  $\eta = 1$ .

Из рис. 2, а видно, что механизм перехода [6], если им описывать неустойчивость ГПУ-структуры, также приводит к двум ПСТ с выделенной

симметрией в  $Z_2$ . Это точки типа  $\Gamma_2$  и  $\Gamma_1$ . Симметрия фаз, соответствующих им в реальном пространстве, —  $D_{6h}^4$  и  $D_{6h}^1$ , с той же структурой, что и описанная выше. Подчеркнем, что точки типа  $O$ , которым в реальном пространстве соответствует структура ОЦК, не выделены по симметрии в структуре  $Z_2$  (ГПУ).

Таким образом, в отличие от результатов, полученных на основе эффективного однокомпонентного ПП и предложенных там же зависимостей  $\eta(\xi)$ , которые были положены в основу работ [4–6,9,10], можно утверждать, что выбор прафазы не столь произволен. В частности, в качестве прафазы для описания перехода в AgI нельзя брать ни одну из известных устойчивых фаз, а необходимо выбрать ПГ структуру с симметрией  $D_{6h}^1$ .

Из рис. 2,б видно, что  $Z_2$  (ПГ) действительно определяет три системы беспараметрических подпространств (ПСТ) типа  $O$ ,  $\Gamma_2$  и  $\Gamma_1$ . Симметрия  $O$  —  $2mm$ ,  $\Gamma_1$  и  $\Gamma_2$  —  $3m$ . Согласно доказательству, проведенному в [2,13,14], все три соответствующие  $O$ ,  $\Gamma_2$  и  $\Gamma_1$  структуры ОЦК, ГПУ и ПГ могут присутствовать в качестве равновесных на фазовой диаграмме. Ниже это доказывается аналитически.

## 6. Аналитическое обоснование результатов

Группа  $Z_2$ , соответствующая  $\alpha$ - $\beta$  реконструкции AgI по механизму сдвига плоскостей, бесконечная, с подгруппой  $T_2$ , состоящей из трансляций на периоды  $\mathbf{a}_1$  и  $\mathbf{a}_2$ :  $T(\mathbf{a}_1, \mathbf{a}_2)$ . Соотношение между  $\mathbf{a}_1$  и  $\mathbf{a}_2$  зависит от того, какая структура выбрана в качестве прафазы. Зависимость  $\Phi(\xi)$ , определяемая бесконечной группой, трансцендентная [17], а не алгебраическая, как в случае точечных групп  $L_i$  [18]. Тем не менее и для  $Z_i$  можно написать общий вид зависимости  $\Phi(\xi)$ , т.е. построить аналог целого рационального базиса инвариантов (ЦРБИ) для точечных групп. Для этой цели следует воспользоваться методом, предложенным в [2, с. 167–169], построения ЦРБИ для групп Ли сложного строения. Оказавшиеся полезными в разбираемой задаче группы  $Z_i$  являются дискретными подгруппами этих групп Ли.

Для подтверждения геометрических результатов, приведенных в предыдущем разделе, рассмотрим два разобранных выше варианта прафазы.

В результате несложных вычислений по [2, с. 167–169] для  $Z_2$  (ГПУ) получаем

$$\Phi(\xi_1, \xi_2) = \Phi(I_1 \dots I_6),$$

где

$$I_1 = \eta_1, \quad I_2 = \psi_1, \quad I_3 = \eta_2^2 + \eta_3^2,$$

$$I_4 = \eta_2\psi_2 + \eta_3\psi_3, \quad I_5 = \eta_2^3 - 3\eta_3^2\eta_2, \quad I_6 = \psi_2^3 - 3\psi_3^2\psi_2. \quad (1)$$

В свою очередь компоненты ПП теории Ландау  $\eta_i$  и  $\psi_k$  в теории с немалыми отклонениями  $\xi_i$  оказываются периодическими функциями  $\xi_1$  и  $\xi_2$

$$\eta_1 = \frac{1}{\sqrt{3}}(u_1 + u_2 + u_3), \quad \psi_1 = \frac{1}{\sqrt{3}}(v_1 - v_2 + v_3),$$

$$\eta_2 = \frac{1}{\sqrt{6}}(2u_1 - u_2 + u_3), \quad \psi_2 = \frac{1}{\sqrt{6}}(2v_1 + v_2 - v_3),$$

$$\eta_3 = \frac{1}{\sqrt{2}}(u_2 - u_3), \quad \psi_3 = \frac{-1}{\sqrt{2}}(v_2 + v_3), \quad (2)$$

где  $u_i = \cos 2\pi \mathbf{k}_i \boldsymbol{\xi}$ ,  $v_i = \sin 2\pi \mathbf{k}_i \boldsymbol{\xi}$ , индекс  $i = 1, 2, 3$ . Здесь введены обозначения:  $\mathbf{k}_1 = \mathbf{b}_1$ ,  $\mathbf{k}_2 = \mathbf{b}_2$  и  $\mathbf{k}_3 = (\mathbf{b}_2 - \mathbf{b}_1)$ ,  $b_1$  и  $b_2$  — элементарные трансляции обратной решетки (ГПУ), а вектор относительного смещения плоскостей записан в гексагональных координатах  $\boldsymbol{\xi} = \xi_{1n} \mathbf{a}_{1n} \xi_{2n} \mathbf{a}_{2n}$ .

Система уравнений состояния, определяющих величины  $\xi_1$  и  $\xi_2$ , может быть представлена в виде

$$\sum_{j=1}^6 \sum_{k=1}^6 \frac{\partial \Phi}{\partial I_k} \frac{\partial I_k}{\partial \tau_j} \frac{\partial \tau_j}{\partial \xi_l} = 0, \quad l = 1, 2, \quad (3)$$

где

$$\tau_{1,2,3} = \eta_{1,2,3}, \quad \tau_{4,5,6} = \psi_{1,2,3}.$$

Если (3) рассматривать как систему уравнений для определения  $\partial \Phi / \partial I_k$ , то уменьшение ранга матрицы

$$\left( \begin{pmatrix} u_2 - u_1; & u_1 - u_3; & \frac{\partial I_3}{\partial \xi_1}; & \frac{\partial I_4}{\partial \xi_1}; & \frac{\partial I_5}{\partial \xi_1}; & \frac{\partial I_6}{\partial \xi_1} \\ u_2 + u_1; & -u_1 + u_3; & \frac{\partial I_3}{\xi_2}; & \frac{\partial I_4}{\partial \xi_2}; & \frac{\partial I_5}{\partial \xi_2}; & \frac{\partial I_6}{\partial \xi_2} \end{pmatrix} \right) \quad (4)$$

и соответствует появлению определенных соотношений между  $\partial \Phi / \partial I_k$  разным фазам системы. Нуль-параметрическим предельным фазам с симметрией  $O_h^9$ ,  $D_{6h}^4$  и  $D_{6h}^1$  соответствует  $\text{Rанк}(M) = 0$ . Т.е. решения системы (3), соответствующие предельным фазам, возможны, только если все элементы (4) обращаются в нуль. Таким образом, выполнение четырех равенств  $M_{11} = 0$ ,  $M_{12} = 0$ ,  $M_{21} = 0$  и  $M_{22} = 0$  необходимо, чтобы  $\text{Rанк}(M) = 0$ . Согласно (1), оно и достаточно.

Итак, неустойчивость ГПУ структуры относительно смещения чередующихся плоскостей (001) может привести при больших смещениях к устойчивой беспараметрической структуре, если  $\xi_1$  и  $\xi_2$  подчиняются системе четырех уравнений

$$\begin{aligned} \sin \pi(\xi_1 + \xi_2) \cos \pi(\xi_1 - \xi_2) &= 0, \\ \sin \pi(2\xi_1 - \xi_2) \cos \pi\xi_2 &= 0, \\ \sin \pi(\xi_1 + \xi_2) \sin \pi(\xi_1 - \xi_2) &= 0, \\ \sin \pi\xi_2 \sin \pi(2\xi_1 - \xi_2) &= 0. \end{aligned} \quad (5)$$

Общее решение системы (5):  $\xi_1 = (m + n)/3$ ,  $\xi_2 = (2m - n)/3$  выделяет в  $Z_2$  три системы правильных точек. Одна из этих систем характеризуется целочисленными значениями  $\xi_i$ . Ее представитель в ячейке ВЗ имеет координаты (00). Она соответствует ГПУ структуре в реальном пространстве. Обозначим соответствующую двухслойную упаковку  $ABABAB \dots$ . Вторая система правильных точек эквивалентна углу ячейки ВЗ с координатами  $(1/3, 2/3)$ . В реальном пространстве соответствующая ей ГПУ структура имеет упаковку  $ACACAC \dots$ , т.е. развернута на  $\pi/3$  по отношению к исходной и изоструктурна или антиизоструктурна ей [2, с. 131–140]. Третья система беспараметрических правильных



точек имеет координаты  $(2/3, 1/3)$ . В реальном пространстве ей соответствуют симметрия  $D_{6h}^1$  и структура ААА....

Эти вычисления подтверждают полученные в разделе 5 геометрические результаты: в отличие от теории с эффективным ПП оказывается, что беспараметрическая структура ГПУ не может быть принята за вырожденную при описании  $\alpha$ - $\beta$  перехода в AgI.

В соответствии с приведенным в разделе 5 геометрическим анализом примем в качестве прафазы ПГ структуру ААА... с симметрией  $D_{6h}^1$  (рис. 1,б). Группа  $Z_2$  (ПГ) определяет минимальный целый базис инвариантов из  $\xi_1$  и  $\xi_2$  в виде двух функций

$$I_1 = U_1 + U_2 + U_3, \quad I_2 = U_1 U_2 U_3, \quad (6)$$

где  $U = \cos 2\pi b_i \xi_i$ , причем  $b_i$  — обратные векторы двумерной ПГ решетки (рис. 2,б). В случае прафазы со структурой ГПУ можно показать, что базис (1) при малых смещениях переходит в базис плоской группы  $3m$  ( $BC\alpha$  [2,16]). Именно это приводит к появлению антиизоструктурных фаз при малых смещениях ГПУ структур [2, с. 134–140]. Точно так же разлагая (6) при малых смещениях  $\xi_1$  и  $\xi_2$ , получим

$$I_1 = 3 - 4\pi^2 i_1 + \frac{(2\pi)^4}{12} i_1^2 - \frac{(2\pi)^6}{6!} \left[ \frac{10}{9} i_2 - \frac{1}{9} i_1^3 \right] + \dots,$$

$$I_2 = 1 - 4\pi^2 i_1 - \frac{13\pi^4}{3} i_1^2 - \frac{2\pi^6}{3^2 \cdot 5} \left[ \frac{10}{9} i_2 - \frac{1}{9} i_1^3 \right] + \dots, \quad (7)$$

где

$$i_1 = \xi_{1c}^2 + \xi_{2c}^2 \sim \left[ \xi_{1h}^2 + \xi_{2h}^2 + (\xi_{2h} - \xi_{1h})^2 \right],$$

$$i_2 = \xi_{1c}^6 - 15\xi_{1c}^4 \xi_{2c}^2 + 15\xi_{1c}^2 \xi_{2c}^4 - \xi_{2c}^6 \sim \left[ \xi_{1h}^6 + \xi_{2h}^6 + (\xi_{2h} - \xi_{1h})^6 \right],$$

$\xi_{1c}$  и  $\xi_{1h}$  — компоненты относительного смещения в кубических и гексагональных координатах,  $(\sim)$  — знак линейной эквивалентности.

Разложение (7) делает очевидной природу различий симметрии в реальном пространстве структур, соответствующих точкам  $\Gamma_2$  и  $O$  в  $Z_2$  (ПГ) и одинаковой симметрии  $\Gamma_2$  и  $\Gamma_2'$  в случае  $Z_2$  (ГПУ).

Система уравнений состояния, согласно (6), имеет три класса решений

$$1) \quad \xi_1 = \frac{2n - m}{3}, \quad \xi_2 = \frac{n - 2m}{3} \quad (\Gamma_2),$$

$$2) \quad \xi_1 = 1/2 + m, \quad \xi_2 = n(\xi_1 = m/2, \quad \xi_2 = 1/2 + n) \quad (O),$$

$$3) \quad \xi_1 = m, \quad \xi_2 = n \quad (\Gamma_1). \quad (8)$$

Первый класс решений соответствует углам ячейки ВЗ и структуре ГПУ в реальном пространстве. Симметрия положения представительной точки в  $Z_2$  (ПГ) —  $3m$ . Второй класс соответствует серединам граней ВЗ, симметрия представительной точки в  $Z_2$  (ПГ) —  $2m$ . С учетом вынужденных деформаций ему отвечает структура ОЦК в реальном пространстве. Третий класс соответствует исходной вырожденной структуре ПГ.

## 7. Структура фазовой диаграммы

После того как определены парафаза и механизм потери устойчивости, можно предсказать, каков вид фазовой диаграммы. Структурно-устойчивый росток [19] неравновесного потенциала  $\Phi$  может быть записан в виде [20,21]

$$\Phi = \alpha_1 I_1 + \alpha_2 I_2 + I_1^2/2 + I_2^2/2, \quad (9)$$

где  $\alpha_1$  и  $\alpha_2$  — независимые феноменологические параметры, определяемые только «внешними» условиями (температурой, давлением, концентрацией примесей и т.д.), а  $I_1$  и  $I_2$  задаются (6).

Вычисления, подробно описанные в [2, с. 232–296] и в [21], приводят к топологической структуре фазовой диаграммы (рис. 3). Локально (т.е. при малых искажениях структур) эта диаграмма вполне понятна.

Рассмотрим особые точки, которые достаточно полно характеризуют топологию фазовой диаграммы. Проведем их описание и сопоставление

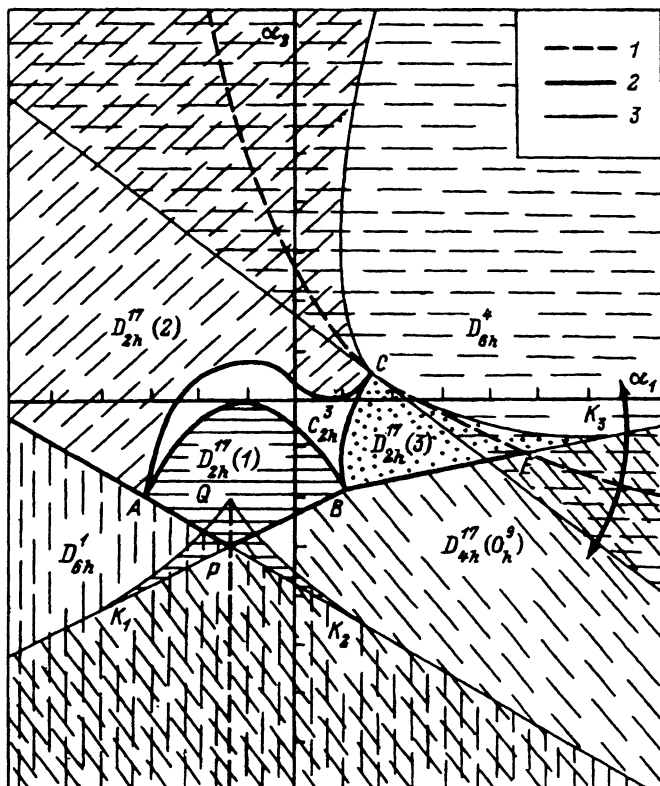


Рис. 3. Типичный вид фазовой диаграммы для реконструкции  $A2 \rightleftharpoons A3$  по механизму относительного смещения соседних кристаллографических плоскостей  $[001] A3$  или  $[011] A2$ .

Направление смещения в отличие от [2] не фиксировано. Двусторонней стрелой обозначен термодинамический путь реконструкции  $A2 \rightleftharpoons A3$ .

Линии переходов: 1 — первого рода, 2 — второго рода, 3 — потери устойчивости фаз.

с известными особыми точками фазовых диаграмм, изученных при малых искажениях структур.

Точка  $A$  — четырехфазная точка, характерная для двухкомпонентного ПП при  $L = B12\alpha$  [2]. Границы фаз  $D_{2h}^{17}(1)$  и  $D_{2h}^{17}(2)$  сходятся в точке  $A$ , имея общие касательные. Это фазы пониженной симметрии  $D_{2h}^{17}$ , они изосимметричны, но не изо- или антиизоструктурны. Их структуры связаны механизмом сдвига плоскостей, но никак не связаны между собой.

Точка  $B$  — точка пересечения двух линий перехода второго рода, описывающих искажения ОЦК-структуры двумя независимыми ПП.

Точка  $C$  — критическая четырехфазная точка перехода второго рода на линии перехода первого рода. Фазы  $D_{2h}^{17}(2)$  и  $D_{2h}^{17}(3)$  антиизоструктурны, что должно проявляться в знаке ромбоэдрической деформации в плоскости (001) ГПУ-структуры при переходе в эти фазы. Этими переходами можно управлять с помощью внешнего однородного сжатия.

Точка  $Q$  — критическая точка изоструктурного перехода внутри фазы со структурой  $D_{2h}^{17}(1)$ . Линия изоструктурных переходов  $QP$  переходит в линию переходов первого рода между ОЦК- и ПГ-структурами.

Точка  $E$  — структурно-неустойчивая тройная точка, в которой линия перехода второго рода пересекается с линией перехода первого рода между ОЦК- и ГПУ-структурами. При усложнении потенциала (9) точка  $E$  перейдет в обычную тройную точку [2].

Точки  $K_1, K_2, K_3$  — критические точки касания линий устойчивости метастабильных фаз. Локальный вид фазовой диаграммы в районе границ устойчивости ОЦК- и ГПУ-структур принципиально отличается от вида фазовой диаграммы, предсказанной на основе теории с эффективным ПП [6]. Например, переход из ГПУ-структуры в фазу пониженной симметрии никогда не может быть переходом второго рода. Согласно же теории с эффективным ПП, он почти при любых условиях на термостате является переходом второго рода. Как видим, переход из ОЦК- и ГПУ-структур в структуру прафазы возможен либо через одну из двух фаз с симметрией  $D_{2h}^{17}$  и резко различающимися структурами, либо переходом первого рода с большим потенциальным барьером между фазами. Местоположение фаз на фазовой диаграмме с необходимостью должно проявляться в структуре доменной стенки и других дефектов при условиях на термостате, близких к условиям перехода между фазами [22]. Таким образом, возможны и прямые экспериментальные проверки механизма перехода не только по смягчению соответствующих фоновых мод, но и по полученному в этой работе выводу о структуре прафазы.

Приведенный вид типичной для механизма перехода, рассмотренного в [7], фазовой диаграммы совместно с результатом расчета изменений объема, формы и положения пор в структуре матрицы галогена [23] позволяет выдвигать рабочие гипотезы о путях стабилизации фаз с помощью присадок по крайней мере в рамках гипотезы «ион-жесткая сфера». В частности, проясняется причина стабилизации суперионного состояния  $AgI$  при низких температурах рубидием, занимающим часть октапоров ОЦК-структуры в предельной по концентрациям фазы  $RbAg_1I_3$ .

## 8. Элементы общей теории

Возможность наглядного представления структуры  $Z_i$  теряется при  $i \geq 3$ . Поэтому для геометрической классификации фаз необходим аппарат, позволяющий описывать более сложные, чем в  $AgI$ , реконструкции. Основой для его построения могут служить идеи Дзялошинского [24], описанные в методике построения спиновых плотностей. Дело в том, что все элементы групп  $Z_i$  можно всегда представить в виде матриц, действующих на  $\{\xi_n\}$ , где  $n$  — номера атомов, входящих в расширенную ячейку, определяемую механизмом перехода. Отличные от нуля элементы этих матриц заполняют малые матрицы-блоки. Блочный вид большой матрицы определяется группой перестановок атомов под действием  $g_i \in G$ , в том числе и трансляций. Структура блоков, наоборот, определяется внутренней симметрией ПП и соответствует спецификациям, связанным с бесконечной подгруппой  $Z_i$ .

В случае реконструкции в  $AgI$  и  $CuVt$  бесконечная подгруппа выродилась в подгруппу дискретных трансляций и полный набор спецификаций совпал с  $\cos 2\pi k_i \xi$  и  $\sin 2\pi k_i \xi$  [17]. Теперь ясно, что определение симметрии границ ячейки ВЗ можно провести методами аналитической геометрии, находя положение инвариантных подпространств  $Z_i$  аналогично [2]. При этом объем вычислений для групп  $Z_i$  лишь незначительно превосходит объем вычислений для  $L$ -групп.

### Список литературы

- [1] Физика суперионных проводников / Под ред. М.Б.Соломона. Рига: Знание, 1982. 315 с.
- [2] Гуфан Ю.М. Структурные фазовые переходы. М.: Наука, 1982. 304 с.
- [3] Гуфан Ю.М., Дмитриев В.П., Рошаль С.Б., Чернер Я.Е. // ФТТ. 1985. Т. 27. № 6. С. 1742-1746.
- [4] Гуфан Ю.М., Дмитриев В.П., Толедано П. // ФТТ. 1988. Т. 30. № 3. С. 1057.
- [5] Horovitz B., Gooding R.J., Krumhaus J.A. // Phys. Rev. Lett. 1988. V. 62. N 7. P. 843.
- [6] Dmitriev U.P., Gufan Y.M., Toledano P. // Phys. Rev. Lett. 1991. V. 44. N 14. P. 7248.
- [7] Гуфан Ю.М. // Письма в ЖЭТФ. 1968. Т. 5. С. 8.
- [8] Janovec U., Dvorak U., Petzelt J. // Chesh. J. Phys. 1975. V. B25. P. 1362-1395.
- [9] Dmitriev U.P., Rochal S.B., Gufan Y.M., Toledano P. // Phys. Rev. Lett. 1988. V. 60. P. 1958.
- [10] Dmitriev U.P., Gufan Y.M., Rochal S.B., Toledano P. // J. Phys. France, 1990. V. 51. P. 2399.
- [11] Ковалев О.В. Неприводимые представления пространственных групп. Киев, 1961. С. 153.
- [12] Гуфан Ю.М., Дмитриев В.П., Рошаль С.Б., Снежков В.И. Фазы Ландау в плотноупакованных структурах. Ростов н/Д, РГУ, 1990. С. 148-194.
- [13] Toledano J.C., Toledano P. The Landau theory of phase Transition. Singapore, World Scientific, 1988.
- [14] Гуфан Ю.М. // ФТТ. 1971. Т. 13. № 1. С. 225.
- [15] Ландау Л.Д., Лифшиц Е.М. Статистическая физика. М.: Наука, 1964.
- [16] Гуфан Ю.М., Попов В.П. // Кристаллография. 1980. Т. 25. № 3. С. 453-459; № 5. С. 921-929.
- [17] Виленкин Н.Я. // Специальные функции и теория представлений групп. М.: Наука, 1965. С. 588.
- [18] Weyl H. The Slassical Group Theiz Invariants and Representations. N.Y., Ac. press, 1939. P. 330.
- [19] Roston T., Stewart I. Gatastrorhe Theory and Its Aplication. London, PITMAN, 1978. P. 531.
- [20] Прохоров А.М., Гуфан Ю.М., Ларин Е.С., Рудашевский Е.Г., Широков В.Б. // ДАН СССР. 1984. № 6. С. 277. С. 1369-1371.
- [21] Кутьин Е.И., Лорман В.Л., Павлов С.В. // УФН. 1991. Т. 161. № 6. С. 121-129.

[22] Бульбич А.А., Гуфан Ю.М. // ЖЭТФ. 1988. Т. 94. № 6. С. 121-129.

[23] Присяжный В.Д., Гуфан Ю.М., Мошенко И.Н., Снежков В.И. // Укр. хим. журн. 1992. Т. 58. № 9. С. 730-734.

[24] Дзялошинский И.Е. // ЖЭТФ. 1964. Т. 46. С. 1420-1438.

Северо-Кавказский научный центр  
высшей школы  
Ростов-на-Дону

Поступило в Редакцию  
28 декабря 1992 г.